

## مقایسه آبگذری آبگیر کفی با محیط متخخلل در جریان‌های زلال و رسوبدار

بنیامین نقوی<sup>۱</sup> - محمود غفور مغربی<sup>۲\*</sup> - کاظم اسماعیلی<sup>۳</sup> - سعید رضا خداشناس<sup>۴</sup> - فاطمه کورش وحید<sup>۰</sup>

تاریخ دریافت: ۸۷/۱۲/۱۹

تاریخ پذیرش: ۸۸/۲/۲۷

### چکیده

آبگیر کفی با صفحات مشبک از جمله مناسبترین روش‌های انحراف جریان در رودخانه‌های پرشیب به شمار می‌رود. با این وجود زنگزندگی و از کار افتادگی شبکه‌های فلزی این نوع آبگیر در بلند مدت مشکلاتی به همراه دارد که با جایگزینی یک محیط متخخلل می‌توان بر این مشکلات فائق آمد. هرچند این محیط نیز می‌تواند با محدودیت‌هایی همچون گرفتگی فضای متخخلل و کاهش آبگیری همراه باشد اما هزینه کم طراحی، کارایی آن در بلند مدت و عدم نیاز به نگهداری، تحقیق در این زمینه را ضروری می‌نماید. با ساخت کanalی دو طبقه که امکان تفکیک جریان عبوری از آبگیر با محیط متخخلل را فراهم می‌کند، تأثیر توان عواملی همچون اندازه دانه‌بندی ذرات محیط متخخلل و شیب سطح بالایی محیط متخخلل در دبی‌های مختلف بر میزان جریان انحرافی مورد بررسی قرار گرفت. همچنین به منظور بررسی رسوبگرفتگی و کاهش گزندگی آبگیر، آزمایشات با چندین نوع رسوب مختلف تکرار و با نتایج جریان بدون رسوب مقایسه شد. نتایج نشان می‌دهد که تأثیر گرفتگی ناشی از رسوبات در جریان رسوبدار با افزایش شیب سطح محیط متخخلل کاهش یافته و ضربی گزندگی جریان افزایش می‌یابد. علاوه بر این ضربی گزندگی در هر دو حالت حدوداً بین ۰/۰۶ تا ۰/۱۳ بوده و وجود رسوبات، گزندگی آبگیر را در شرایط مختلف نسبت به جریان زلال ۵ تا ۳۵٪ کاهش می‌دهد. معادلات تجزیی بدست آمده از ضربی گزندگی نشان می‌دهند که مهمترین عوامل جهت بهبود عملکرد آبگیر انتخاب دانه‌بندی و شیب مناسب برای محیط متخخلل آبگیر است که بواسطه آن نسبت تعییرات ضربی گزندگی جریان رسوبدار به زلال ناچیز می‌شود.

**واژه‌های کلیدی:** آبگیر کفی، محیط متخخلل، ضربی گزندگی، جریان زلال، جریان رسوبدار، گرفتگی

### همکاران(۱۳) در کanalی با شیب ۲۰ درصد ارائه شده است. دراییر(۸)

### مقدمه

استفاده از مدلی با ابعاد واقعی تحقیقاتی بر روی آبگیر کفی با کف مشبک انجام داد و در این تحقیق شیب بهینه برای کف مشبک بین ۲۰ و ۳۰ درصد بدست آمد. اما برای برآورد دبی انحراف در آبگیرهای کفی هنوز نیاز به تحقیقات زیادی است.

استفاده از شبکه فلزی مشکلاتی به همراه دارد که از جمله مهمترین آنها مشکلات مربوط به نگهداری سیستم و تخلیه رسوبات از سیستم، ناپایداری جریان در کanal انحراف، و یخ زدن و پوسیدن شبکه فلزی است. از جمله اقداماتی که می‌توان برای حل این مشکلات مطرح کرد جایگزینی یک محیط متخخلل با کفهای مشبک آبگیر کفی است. هرچند این محیط نیز می‌تواند با محدودیت‌هایی همراه باشد اما هزینه کم طراحی و کارایی این سیستم در بلند مدت تحقیق در این زمینه را ضروری می‌کند. محدودیت‌هایی که برای این سیستم می‌توان متصور شد، مشکلات مربوط به رسوبگیری و عدم گزندگی و در نتیجه آبگیری مناسب از

روش آبگیری از کف یکی از کارآمدترین و مطمئن ترین راههای آبگیری از رودخانه‌های کوهستانی حاوی رسوبات درشت دانه و با شیب تندر است (۱). در روش آبگیری از کف رودخانه با کف مشبک پس از حفر یک ترانشه با مقطع مناسب در جهت عرضی، در قسمتی یا تمامی عرض رودخانه اقدام به جمع آوری و انحراف جریان عبوری می‌شود (۲)، برای جلوگیری از ورود ذرات درشت بستر به داخل ترانشه معمولاً از یک شبکه فلزی به عنوان رسوبگیر استفاده می‌گردد. اولین تعریف هیدرولیکی از آبگیرهای کفی توسط اورث و

۱- دانشجوی کارشناسی ارشد سازه‌های آبی، گروه مهندسی آب، دانشکده کشاورزی،

دانشگاه فردوسی مشهد

۲- دانشیار گروه مهندسی عمران، دانشکده مهندسی، دانشگاه فردوسی مشهد  
(Email: maghrebi@ferdowsi.um.ac.ir) \*- نویسنده مسئول:

۳- استادیار گروه مهندسی آب، دانشکده کشاورزی، دانشگاه فردوسی مشهد

زهکشی و ذخیره آنها را شدیداً کاهش داده و نفوذ رواناب سطحی به داخل بستر یا لایه نفوذپذیر را با مشکل مواجه کند (۴ و ۹). بستر رودخانه در نتیجه ترسیب و انباشتگی رسوبات ریزدانه دچار گرفتگی شده و ترکیبات آب زیرزمینی، تغذیه آب زیرزمینی از بستر رودخانه، ظرفیت سیستم چاه و کیفیت آب زیرزمینی منطقه را تحت تأثیر قرار می‌دهد. ترسیب مواد معلق باعث کاهش هدایت هیدرولیکی و شسته شدن بستر باعث افزایش هدایت هیدرولیکی کف رودخانه می‌شود (۱۲).

مطالعات نشان می‌دهد که فرآیند لایه گذاری در محیط متخلخل توسط سه فاکتور اصلی کنترل می‌شود. این سه فاکتور عبارتند از نسبت اندازه ذرات رسوب و شن، غلظت رسوبات و سرعت جریان نشت (۵)، (۷) و (۱۷).

نسبت اندازه مصالح محیط متخلخل درشت دانه به رسوبات می‌تواند توسط یک پارامتر ساده به نام نسبت اندازه ذرات  $R_s$  به صورت زیر تعریف شود (۱۸) و (۱۹):

$$R_s = \frac{(D_{15})_{Gr}}{(d_{85})_{sed}} \quad (2)$$

که در آن  $(D_{15})_{Gr}$  و  $(d_{85})_{sed}$  به ترتیب قطر الکی است که ۱۵ و ۸۵٪ دانه‌بندی محیط متخلخل و رسوبات از آن ریزترند.

مطالعات وو و هوانگ (۲۱) نشان داد که نسبت اندازه  $R_s$ ، فاکتور حاکم بر توزیع ته نشینی رسوبات است. طبق گزارش ساکسیوایدیول و اینشتین (۱۷) هنگامی که نسبت اندازه بزرگتر از ۱۵ باشد، کمتر از ۱٪ حجم منافذ کل با رسوبات ته نشین شده اشغال می‌شود.

تان و همکاران (۲۰) برای پیش‌بینی کاهش نفوذپذیری بستر نفوذپذیر با استفاده از معادله کوزنی-کارمن و بر اساس  $k_0$  نفوذپذیری قائم اولیه بستر نفوذپذیر ( $m/s$ )،  $n$  متخلخل، مقدار ماده مسدود کننده و ضریب تحریب آزمایشگاهی  $\alpha$  که تابعی از نسبت اندازه  $R_s$  و ضریب یکنواختی آنها  $C_s$  است، فرمول توری - تحریب زیر را ارائه دادند:

$$k = k_0 \frac{(1-n)^2}{n^3} \frac{(n-\alpha\sigma)^3}{[1-(n-\alpha\sigma)]^2} \quad (3)$$

در معادله فوق  $\sigma$  ته نشینی ویژه و یا نسبت حجم رسوب ته نشین شده ( $\gamma_C$ ) به حجم کل محیط متخلخل ( $\gamma_T$ ) بوده و به شکل زیر تعریف می‌شود:

$$\sigma = \frac{\gamma_C}{\gamma_T} \quad (4)$$

در هیدرولیک جریان محیط متخلخل (سنگدانه‌ای)، سرعت جریان به دو صورت تعریف می‌شود. سرعت ظاهری  $V$  که از تقسیم دبی جریان بر سطح مقطع کلی جریان (سطح عمود بر جریان شامل فضای خالی و سنگدانه) بدست می‌آید که چون در محیط متخلخل سطح مقطع جریان ثابت نیست، لذا مقدار متوسط آن در محاسبات

این نوع آبگیر است. لذا باید با انتخاب مناسبترین دانه‌بندی و اعمال اقدامات لازم جهت بهینه‌سازی این طرح، مشکلات مربوط به رسوبگیری را به حداقل رساند.

آبگیری از چنین محیط متخلخلی را می‌توان با گذردهی جریان از بستر رودخانه به سمت آب‌های زیرزمینی و گرفتگی و آبگذری فیلترها مقایسه کرد. گرچه شیوه انحراف جریان از نظر هیدرولیکی در دو روش انحراف از طریق کف مشبك و انحراف جریان از طریق محیط متخلخل در کف با یکدیگر متفاوت است اما دارای شباهت‌هایی نیز می‌باشد. چنانکه جریان اصلی بر روی آبگیر متغیر مکانی با دبی کاهشی بوده و لذا پروفیل‌های تشکیل شده بسیار شبیه به هم پیش بینی می‌شود. اما جریان عبوری از کف مشبك رفتار روزنه‌ای داشته در حالیکه عبور جریان از محیط متخلخل بسته به رژیم جریان در این محیط، متغیر خواهد بود.

نرخ تغییر دبی انحرافی در واحد عرض را می‌توان با رابطه زیر بیان کرد (۱۴):

$$\frac{dq}{dx} = C_d \varepsilon \sqrt{2gY} \quad (1)$$

که در آن  $dq$  دبی انحرافی در طول بخشی از شبکه طولی  $dx$  در واحد عرض،  $\varepsilon$  نسبت مساحت بازشدگی به مساحت کل،  $C_d$  ضریب دبی و  $Y$  مقدار مربوط به هد است. مشخصاً مقادیر  $C_d$  به تعریف هد هیدرولیکی وابسته است. روش‌های مختلفی برای تخمین  $C_d$  و  $Y$  در کارهای تحقیقاتی پیشنهاد شده است. مقادیری که تاکنون به جای  $Y$  در رابطه ۱ در نظر گرفته شده شامل  $D$  مقدار محلی عمق متوسط جریان در طول کanal،  $H_0$  هد ویژه جریان عبوری از شبکه،  $D(x)$  عمق جریان محلی و  $E_0$  مقدار انرژی مخصوص در مقطع بالادست می‌باشد. بررسی تحقیقات انجام گرفته نشان می‌دهد تاکنون تعریف مشخص و ثابتی از هد هیدرولیکی مربوطه که بتوان در معادله ۱ بکار برد ارائه نشده است (۱۴).

طبق مطالعات لپس (۱۰) کوچکتر شدن اندازه سنگدانه‌ها در یک محیط متخلخل باعث افزایش مقاومت در برابر جریان و افزایش مقاومت اصطکاکی، کاهش سرعت سیال و بالا رفتن پروفیل سطح آب در محیط سنگدانه می‌شود. با غیر یکنواخت شدن دانه بندی نیز اندازه متوسط منافذ کاهش یافته و طول مسیر آب افزایش می‌یابد.

مطالعات شالشلی (۱۵) در خصوص لا یگذاری در بستر رودخانه و محیط‌های متخلخل نیز نشان می‌دهد که کاهش هدایت هیدرولیکی اساساً به تنش برشی بی بعد جریان، غلظت بار معلق، گرادیان هیدرولیکی مابین رودخانه و آب زیرزمینی و توزیع دانه بندی بستر رودخانه بستگی دارد. برای یک بستر مشخص، متغیرهای فیزیکی همچون شرایط جریان، بار معلق، توزیع دانه بندی و شکل ذرات معلق، گرادیان هیدرولیکی جریان نشتی و جهت آن می‌تواند تأثیر عمده‌ای بر فرآیند گرفتگی بگذارند (۶ و ۱۶).

گرفتگی بسترهای نفوذپذیر توسط ذرات خارجی می‌تواند ظرفیت

اصلی و استفاده از قضیه  $\Pi$  با کینگهام داریم:

$$C_d = \phi\left(\frac{y_1}{d_{50}}, j, Fr, n, S_p, S_0, form\right) \quad (8)$$

در رابطه فوق  $j$  نسبت عمق آب در کanal بالادست به طول

$$\text{آبگیر، } (\frac{y_1}{L}) \text{ و } \frac{V_1}{\sqrt{gy_1}} \text{ عدد فرود بالادست می‌باشد. با توجه}$$

به یکسان بودن شکل آبگیر و شبکه کanal عوامل  $S_0$  و  $form$  از رابطه ۸ حذف می‌شوند:

$$C_d = \phi\left(\frac{y_1}{d_{50}}, j, Fr, n, S_p\right) \quad (9)$$

در جریان رسوبدار مجموع پارامترهای بی بعدی که در تحلیلهای صورت گرفته موثر شناخته شدند به شرح زیر است:

$$f(R_s, R_{15}, R_{50}, S_p, \sigma, n, i, j, Fr, Re, I, \Theta, form) = 0 \quad (10)$$

که در آن  $R_{15}$  و  $R_{50}$  بصورت زیر بیان می‌شوند:

$$R_{15} = \frac{D_{15}}{d_{15}}, \quad R_{50} = \frac{D_{50}}{d_{50}} \quad (11)$$

در رابطه ۱۱،  $D_{15}$  و  $D_{50}$  به ترتیب قطر الکی است که ۱۵ و ۵۰٪ دانه‌بندی محیط متخلخل،  $d_{15}$  و  $d_{50}$  و  $d_{85}$  قطر الکی است

که به ترتیب ۱۵، ۵۰ و ۸۵ درصد رسوبات از آن ریزترند.  $\sigma$  ته نشینی ویژه،  $i$  گرادیان هیدرولیکی،  $Re$  عدد رینولدز جریان بالادست،  $I = C/\rho_w$  نسبت غلظت آب رسوبدار (که حاصل تقسیم دبی رسوب بر دبی جریان بوده و بر حسب گرم بر لیتر تعريف می‌شود) به چگالی آب زلال و  $\Theta$  تنش برشی بی بعد (فاکتور شیلدز) است. در این حالت ضریب دبی تابع عوامل ذیل تشخیص داده شد:

$$C_d = f(Fr, Re, i, \Theta, \sigma, R_{50}, S_p) \quad (12)$$

همانطور که مشاهده می‌شود، علاوه بر مشخصات هیدرولیکی جریان و مشخصات فیزیکی محیط متخلخل، تخلخل و درصد گرفتگی نیز بر ضریب گذردهی موثرند.

## مواد و روش‌ها

### ساخت مدل آزمایشگاهی

برای ساخت مدل، از فلوم موجود در آزمایشگاه هیدرولیک دانشکده کشاورزی دانشگاه فردوسی مشهد با طول ۱۰ متر، عرض ۳۰ سانتی متر و ارتفاع ۵۰ سانتی متر استفاده گردید. دیواره این فلوم از شیشه بوده که امکان مشاهده جریان را فراهم می‌نمود و کف آن از ورق گالوانیزه رنگ شده ساخته شده است. به منظور ایجاد آبگیر کفی در فلوم از کanalی دو طبقه با ورق پلکسی گلس استفاده شد و محیط آبگیری به صورت یک فضای خالی (ترانشه) در فاصله ۵ متر از ابتدای کanal ایجاد شد (شکل ۱).

برای تفکیک جریان عبور کرده از محیط متخلخل و جریان باقیمانده لازم بود کanal در قسمت پایین دست آبگیر کفی، دو طبقه

استفاده شده و سرعت متوسط ظاهری بدست می‌آید:

$$V = \frac{Q}{A} \quad (5)$$

و سرعت واقعی جریان  $V_n$  که از تقسیم دبی بر سطح فضای عبوری جریان (فضای بین سنگدانه‌ها) و یا سرعت ظاهری بر تخلخل حاصل می‌شود (۱۱) است:

$$V_n = \frac{V}{n} = \frac{Q}{nA} \quad (6)$$

هدف از این تحقیق بررسی کارایی مدل جدید آبگیر کفی با محیط متخلخل و شناسایی پارامترهای موثر جهت بهبود عملکرد این نوع آبگیر است. لذا با ساخت مدلی آزمایشگاهی و برداشت داده‌ها در شرایط مختلف، گذردهی آبگیر با محیط متخلخل در دو جریان زلال و رسوبدار، شرایط هیدرولیکی جریان در بالادست آبگیر و تأثیر خصوصیات محیط سنگدانه‌ای و دیگر عوامل محیطی بر میزان جریان عبوری از کanal انحراف و نقش و تأثیر وجود رسوبات بر میزان کاهش گذردهی آبگیر مورد بررسی قرار گرفت. همچنین به کمک رابطه بدست آمده از برآورد دبی انحرافی از آبگیر کفی با محیط متخلخل و مقادیر اندازه گیری شده جریان در آزمایشگاه، مقادیر ضریب دبی جریان برای محیط متخلخل بدست آمد. علاوه بر این بر مبنای پارامترهای هیدرولیکی جریان، به کمک رگرسیون غیر خطی و بکارگیری گروههای بدون بعد بدست آمده از آنالیز ابعادی رابطه‌ای برای ضریب شدت جریان در دو حالت جریان زلال و رسوبدار بدست آمد.

### آنالیز ابعادی

با بکارگیری متغیرهای هیدرولیکی و هندسی موثر بر میزان جریان انحرافی می‌توان رابطه‌ای جهت برآورد مقدار ضریب شدت جریان بدست آورد. بدین منظور ابتدا با بکارگیری آنالیز ابعادی متغیرهای بدون بعد موثر بر ضریب شدت جریان از محیط متخلخل مشخص و سپس به بررسی چگونگی تأثیر آنها پرداخته می‌شود. اندازه‌گیری مقدار جریان انحرافی در هر آزمایش و نیز مقادیر اندازه گیری شده پارامترهای هیدرولیکی امکان برآورد دبی جریان با استفاده از روابط تئوری و از آنجا تعیین ضریب دبی جریان را فراهم می‌کند.

با صرفظر کردن از اثرات مربوط به کشش سطحی و تراکم پذیری مایع، قانون فیزیکی حاکم بر جریان خروجی در طول آبگیر برای جریان زلال شکل زیر را به خود می‌گیرد:

$$f(\rho, g, V_1, y_1, n, d_{50}, L, S_p, S_0, form) = 0 \quad (7)$$

در رابطه فوق  $\rho$  چگالی آب،  $g$  شتاب جاذبه،  $V_1$  سرعت جریان بالادست،  $y_1$  عمق جریان بالادست،  $n$  تخلخل محیط متخلخل،  $d_{50}$  قطر متوسط سنگدانه‌ها،  $L$  طول آبگیر،  $S_p$  شبکه سطح بالایی محیط متخلخل،  $S_0$  شبکه کanal و  $form$  نشان‌دهنده شکل آبگیر می‌باشد. با انتخاب  $y_1$ ،  $V_1$  و  $\rho$  به عنوان متغیرهای

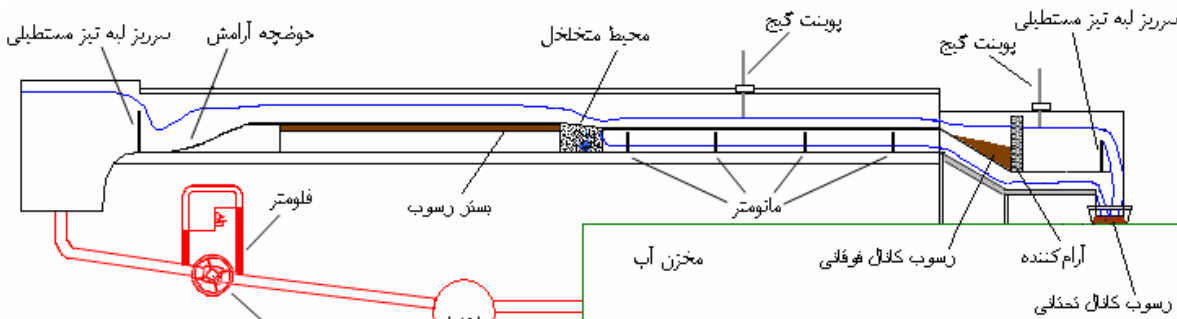
برای ایجاد شیب در سطح آبگیر، ارتفاع دیواره پایین دست ۱۰ سانتی متر انتخاب و ارتفاع دیواره بالا دست مطابق با تراز کف کanal بالا دست آبگیر در ارتفاع های ۱۰، ۱۲ و ۱۴ سانتیمتر تعییر می کرد (شکل ۲). برای جلوگیری از شسته شدن سنگدانه ها در سطح محیط متخلخل ناشی از عبور جریان، از یک توری گالوانیزه جهت تثبیت آنها استفاده شد. از آنجا که جریان ورودی به محیط آبگیر فقط امکان خروج از دیواره پایین دست را داشت، برای جلوگیری از انتقال سنگدانه ها به کanal تحتانی و ایجاد کمترین مقاومت در برابر جریان، از میله هایی به قطر  $1/5$  میلیمتر که بصورت موازی در دیواره پایین دست قرار داده شدند، استفاده شد.

مواد محیط متخلخل از مصالح رودخانه ای انتخاب شد و سپس به روش الک استاندارد ASTM دانه بندی گردید. سه نوع دانه بندی برای محیط متخلخل با نماد P1 و P3 با  $d_{50}$  به ترتیب  $8/5$ ،  $11/5$  و  $14/5$  میلیمتر انتخاب شد تا بتوان اثر اندازه ذرات محیط متخلخل را بر میزان جریان انحرافی توسط آبگیر مورد بررسی قرار داد. ضریب یکنواختی ( $\sigma_g$ ) تمامی دانه بندی های انتخابی نزدیک به  $1/1$  است.

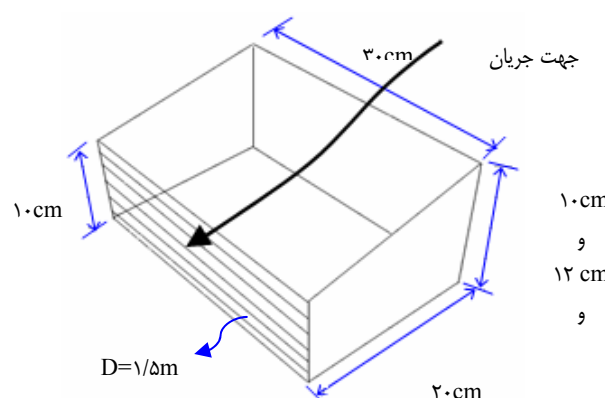
اجرا شود طوری که جریان عبور کرده از محیط متخلخل به عنوان جریان انحرافی از کanal تحتانی و جریان باقیمانده از کanal فوقانی آن بطور مستقل عبور نمایند. بر مبنای برآوردهای اولیه، حداکثر عمق احتمالی در کanal پایین دست در دیبهای بالا کمتر از ۱۰ سانتی متر برآورده شد. لذا ارتفاع کanal فوقانی (پایین دست آبگیر) برابر ۱۰ سانتیمتر اختیار شد.

با نصب یک سرریز مستطیلی در ابتدای فلوم (پس از مخزن آب) و سرریز دیگری در پایین دست فلوم و بر روی کanal فوقانی (قسمت شیبدار فلوم) به ترتیب میزان جریان ورودی و جریان باقیمانده (عبور نکرده از محیط متخلخل) قابل اندازه گیری شدند. دبی انحرافی از محیط متخلخل از اختلاف جریان ورودی و جریان عبور کرده از سرریز پایین بدست می آمد. برای کاهش تلاطم جریان یک آرام کننده بعد از سرریز ابتدایی و آرام کننده دیگری قبل از سرریز پایین دست قرارداده شد. به این ترتیب جریان با سرعتی کم و بدون تلاطم زیاد ناشی از افت تراز کف کanal به سرریز نزدیک می گردید.

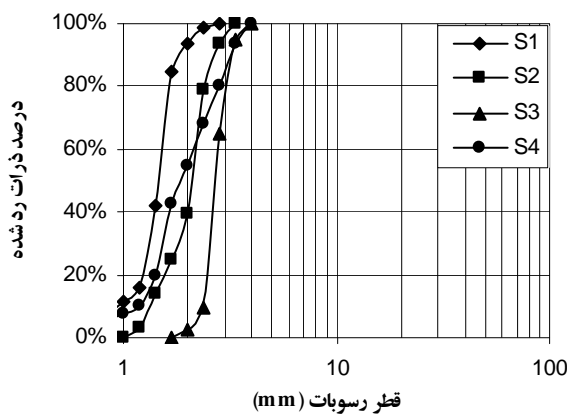
برای ساخت آبگیر کفی با محیط متخلخل، سه محفظه از جنس آهن گالوانیزه با  $3$  شیب سطحی  $S_p$  صفر،  $10$  و  $20$  درصد، عرض  $30$  (منطبق با عرض فلوم) و طول ثابت  $20$  سانتی متر ساخته شد.



(شکل ۱)- نمای کلی از مدل ساخته شده در آزمایشگاه



(شکل ۲)- نمای سه بعدی از فضای محیط آبگیری



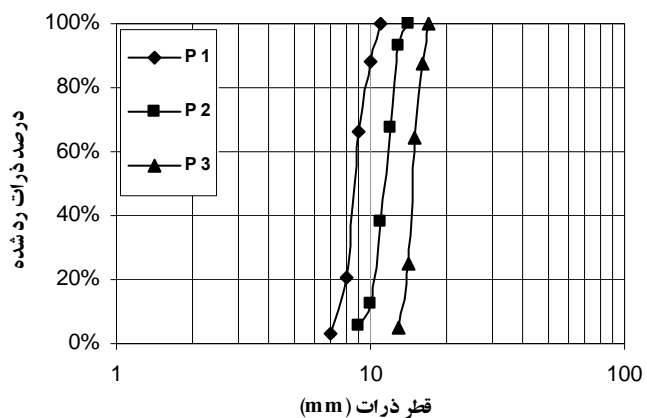
(شکل ۴)- منحنی دانه بندی رسوبات

## نتایج

### بررسی گزندگی جریان انحرافی در جریان زلال

به طور کلی میزان جریان انحرافی در محل آبگیرها تابعی از میزان جریان ورودی است. در مواردی که شرایط طبیعی رودخانه اجازه دهد می‌توان تمامی جریان رودخانه را منحرف کرد. در طراحی سیستم‌های انحراف همواره سعی می‌گردد شرایط به گونه‌ای ایجاد گردد تا بتوان دبی طرح را برداشت نمود. هرچند با افزایش جریان رودخانه امکان انحراف جریان بیشتری وجود دارد اما سیستم انحراف تحت هر شرایط هیدرولیکی روند یکسانی در انحراف جریان نشان نمی‌دهد. در این تحقیق با آزمایشات بر روی مدل، نتایج مربوط به میزان انحراف جریان  $Q_d$  بر اساس میزان دبی ورودی  $Q_i$  در سه نوع دانه‌بندی مصالح محیط متخلف و در سه شیب سطح آبگیر مورد بررسی قرار گرفت. نتایج نشان داد با افزایش دبی جاری در کanal، میزان دبی انحراف روند افزایشی داشته که این روند در تمامی حالات سه دانه بندی تقریباً یکسان است. هر چند که روند افزایش دبی انحراف با افزایش دبی ورودی مشاهده می‌شود اما بتدریج و با افزایش دبی ورودی از شدت جریان انحرافی کاسته شده به مقدار ثابتی می‌رسد. مطابق با شکل ۵، درصد افزایش دبی انحرافی با افزایش دبی ورودی کاهش می‌یابد. به عنوان مثال، در دانه بندی P1 و در شیب صفر، میزان دبی انحرافی  $Q_d = Q_i \Psi$  در دبی  $3/4 \text{ lit/s}$  برابر با  $100\%$  و در دبی  $23/8 \text{ lit/s}$  برابر با  $29\%$  می‌باشد.

مطابق مطالعات انجام شده، اندازه ذرات در محیط متخلف از عوامل موثر بر میزان جریان انحرافی می‌باشد (۲۰). نتایج بدست آمده از شکل ۵ نیز نشان می‌دهد که به ازاء یک دبی ورودی مشخص  $Q_i$  با افزایش اندازه ذرات، درصد دبی انحرافی روند افزایشی دارد. به



(شکل ۳)- منحنی دانه بندی سنگدانه‌ها

منحنی دانه‌بندی مواد انتخابی در شکل ۳ آورده شده است. همچنین به منظور تعذیه رسوب از ۴ نوع رسوب  $S_1$ ,  $S_2$ ,  $S_3$  و  $S_4$  با  $d_{50} = 50$  به ترتیب  $1/45$ ,  $1/21$ ,  $1/27$  و  $1/85$  در بالادست محیط متخلف به صورت بار بستر استفاده شد (شکل ۴). ضریب یکنواختی رسوبات انتخابی نیز به ترتیب  $1/2$ ,  $1/3$ ,  $1/1$  و  $1/4$  است. شایان ذکر است که رسوبات  $S_4$  مخلوط رسوبات  $S_1$ ,  $S_2$  و  $S_3$  است. با توجه به حداکثر دبی و حداکثر زمان اجرای آزمایش و همچنین محاسبات مربوط به انتقال بار بستر، بستر رسوبی به عمق ۵ سانتیمتر و طول  $3/5$  متر ایجاد شد. در این حالت حجم رسوبی که در این فضا جهت ایجاد گزندگی پایدار حدی قرار می‌گیرد کافی بوده و سیستم تا زمان برقراری تعادل نسبی در جریان عبوری از محیط متخلف با کمبود رسوب مواجه نخواهد شد.

در تمام آزمایشات شیب فلوم  $S$  ثابت و  $0.005$  در نظر گرفته شد. تغییرات دبی جریان در آزمایشات با آب زلال بین حداقل  $3/4$  تا حداکثر  $23/8$  لیتر بر ثانیه بوده است. روند آزمایشات با آب زلال بدین صورت بود که در هر شیب سطح آبگیر، سه دانه بندی و در هر دانه‌بندی ۸ دبی انتخابی مورد آزمایش قرار می‌گرفت. برای اندازه گیری عمق جریان در کanal بالادست از پوینت گیج با دقت  $\pm 0.1$  میلیمتر و در کanal تحتانی از مانومتر با دقت  $0.5 \pm 0.1$  میلیمتر استفاده شد.

در بخش جریان رسوبدار تنها  $4$  دبی  $13/4$ ,  $8/4$ ,  $6/2$ ,  $10/8$  و  $1/4$  لیتر بر ثانیه اندازه گیری شد. در طی  $30$  دقیقه زمان آزمایش جریان رسوبدار، روند تغییرات زمانی گزندگی کanal انحراف ثبت شد. مشاهده شد که در تمامی آزمایشات، مدت زمان لازم برای آنکه دبی کanal تحتانی به حد ثابتی برسد، بر حسب نوع دانه بندی محیط، نوع رسوبات و دبی کanal حدود  $15$  الی  $20$  دقیقه است. در نهایت دبی پایدار کanal انحراف با دبی جریان در حالت زلال مقایسه شد.

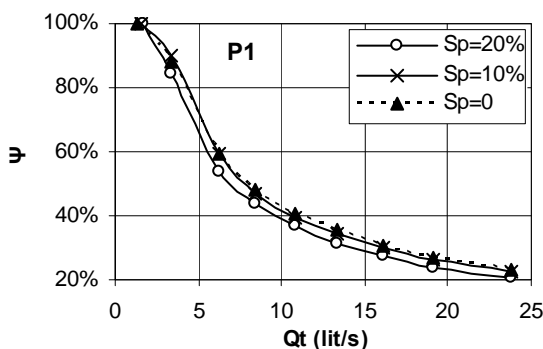
بررسی گزندگی جریان انحرافی در جریان رسوبدار در جریان رسوبدار، تاثیر توان عوامل مختلف شامل دانه بندی محیط متخلخل آبگیر، دانه بندی رسوبات و شیب سطح بالای محیط متخلخل در دبی های مختلف بر گزندگی جریان انحرافی مورد مطالعه قرار گرفت. همانند جریان زلal، برای بررسی تغییرات دبی کanal انحراف در دبی های مختلف از نسبت بی بعد  $\Psi_s$  بصورت زیر استفاده شد:

$$\Psi_s = \frac{Q_{ds}}{Q_t} \times 100 \quad (13)$$

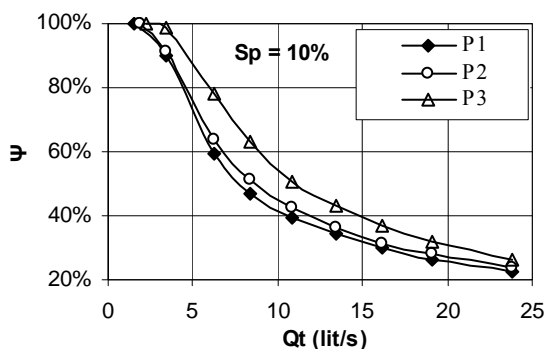
که در آن  $Q_{ds}$  دبی کanal انحراف در جریان رسوبدار و  $Q_t$  دبی کanal اصلی است. در شکل ۷ نمونه‌ای از روند تغییرات  $\Psi_s$  در دبی های مختلف تحت تأثیر هریک از متغیرهای مستقل نشان داده شده است.

عنوان مثال مقایسه دو دانه بندی P1 و P3 در  $S_p = 10\%$  نشان می‌دهد میزان دبی انحرافی، ( $\Psi$ ) در  $Q_t = 23/8 \text{ lit/s}$  برای P1 برابر با ۲۲٪ و برای P3 نسبت به دانه بندی های ریزتر، دبی بیشتری را از خود عبور می‌دهد که ناشی از بیشتر بودن فضاهای خالی در این دانه بندی است.

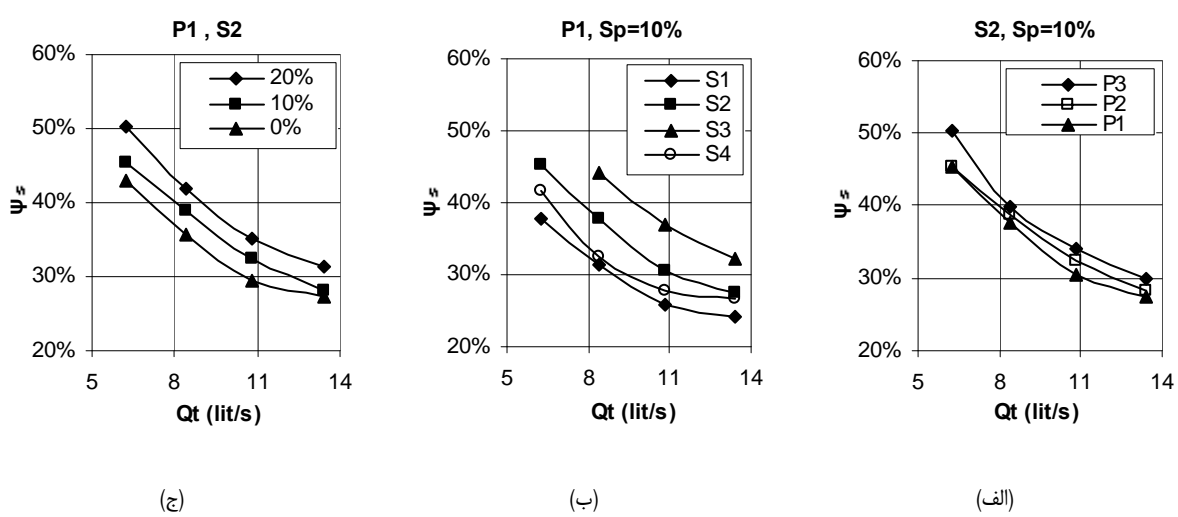
همچنین نتایج نشان داد با افزایش  $S_p$  انحراف جریان کاهش می‌یابد. در شکل ۶ مقایسه سه شیب سطح آبگیر برای دانه بندی P1 به صورت نمونه آورده شده است. چنانکه ملاحظه می‌گردد با افزایش  $S_p$  در هر دبی، میزان درصد دبی انحراف کاهش نشان می‌دهد که مقدار آن در دبی های بیشتر، بیشتر است. در واقع افزایش شیب سطح آبگیر، افزایش سرعت جریان را در پی دارد و باعث کاهش نسبی دبی انحراف خواهد شد. درصد کاهش دبی انحراف از شیب صفر به شیب ۱۰ درصد نسبت به کاهش درصد انحراف از شیب ۱۰ به ۲۰ درصد کمتر محسوس است.



(شکل ۶) میزان درصد دبی انحرافی با افزایش شیب سطح آبگیر



(شکل ۵) میزان درصد دبی انحرافی با افزایش دبی ورودی

(شکل ۷) بررسی تأثیر عوامل مختلف بر روند تغییرات  $\Psi_s$  در دبی های مختلف. (الف) دانه بندی، (ب) رسوب، و (ج) شیب محیط متخلخل

سرعت عبور رسوبات از روی محیط متخلخل افزایش یافته و امکان ته نشینی کاهش می‌یابد.

با بکارگیری داده‌های مربوط به میزان دبی عبوری از کanal تحتانی در شرایط زلال و دبی بدست آمده در جریان رسوبدار، میزان کاهش گذردهی جریان تحت شرایط جریان با رسوب نسبت به شرایط بدون رسوب را می‌توان با رابطه زیر ارزیابی نمود:

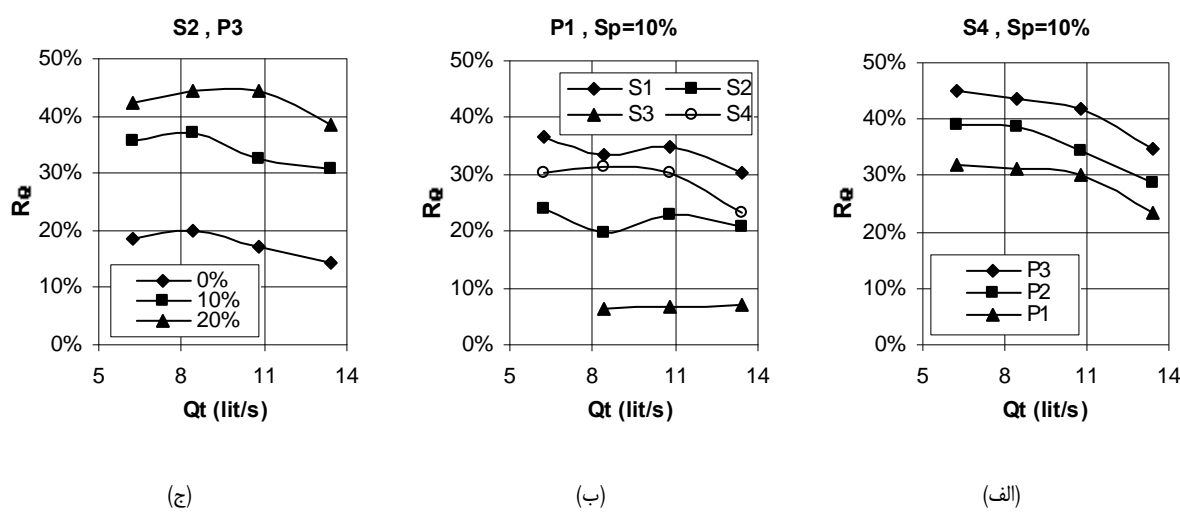
$$R_Q = 1 - \frac{Q_{ds}}{Q_d} \quad (14)$$

در رابطه فوق  $Q_d$  دبی کanal تحتانی در حالت جریان بدون رسوب (آب زلال) و  $Q_{ds}$  دبی کanal تحتانی در حالت رسوبدار است. در شکل ۸ میزان تغییرات  $R_Q$  تحت تأثیر متغیرهای مختلف نشان داده شده است. نمودارهای مربوط به کاهش گذردهی  $R_Q$  نشان‌دهنده میزان کاهش درصد عبور دبی کanal تحتانی تحت شرایط مختلف از لحاظ شیب و رسوب بوده و با استناد به آن می‌توان مقایسه معنی داری با شرایط جریان زلال انجام داد. مقایسه دانه‌بندی‌های مختلف در شکل ۸ (الف)، حاکی از آن است که درصد کاهش گذردهی نسبی در دانه‌بندی‌های بزرگتر بیشتر بوده و هرچه دانه‌بندی ریزتر می‌شود اثر رسوب گرفتگی در محیط متخلخل کاهش یافته و دبی کanal تحتانی با شرایط جریان بدون رسوب تقاضت چندانی ندارد به طوری که در برخی حالات  $R_Q$  به ۰٪ نیز می‌رسد. شایان ذکر است که این نسبت تحت تأثیر شیب محیط متخلخل و نوع رسوبات نیز بوده که تأثیر این عوامل نیز بصورت مجزا قابل بررسی است. در شکل ۸ (ب)، مشاهده می‌شود که رسوبات S3 کمترین و رسوبات S1 بیشترین تأثیر را در کاهش گذردهی کanal انحراف داشته و گذردهی در این دو حالت به ترتیب کمتر از ۱۰٪ و ۴۰٪ شرایط بدون رسوب است. علت بروز این روند را باید در بزرگ بودن قطر رسوبات S3 و کوچک بودن رسوبات S1 دانست که به ترتیب گرفتگی کمتر و بیشتری را در محیط متخلخل ایجاد می‌کنند. در نمودارهای اخیر نیز مانند شکل ۷ مشاهده می‌شود که رسوبات S4 حالتی مابین رسوبات S1 و S2 داشته و حدود ۲۰٪ تا ۳۰٪ جریان فاقد رسوب قابلیت گذردهی دارد. شکل ۸ (ج) نشان می‌دهد که همواره با افزایش شیب، نسبت گذردهی در کanal انحراف افزایش می‌یابد. روند تغییرات  $R_Q$  نسبت به افزایش دبی نزولی است اما در هر شیب نسبت این تغییرات جزئی است و حداقل کاهش گذردهی نسبی حدوداً ۵٪ است. علت گذردهی بهتر در شیب‌های بالاتر نیز کاهش گرفتگی محیط متخلخل در این شیب‌ها است. در تمامی نمودارهای شکل ۸ مشاهده می‌شود که با افزایش دبی، گذردهی جریان رسوبدار و زلال به یکدیگر نزدیک می‌شوند.

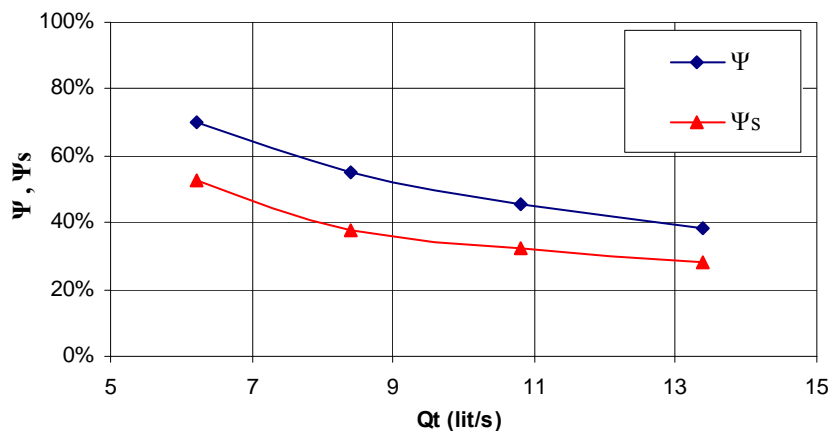
مشاهده می‌شود که در کلیه حالات با افزایش دبی، درصد عبور دبی تحتانی به دبی کل کاهش می‌یابد و لذا بهترین گذردهی کanal تحتانی در دبی‌های کم رخ می‌دهد. همچنین همواره با افزایش دبی  $\Psi$  کاهش می‌یابد که این امر به خاطر فرار آب از روی سطح محیط متخلخل و کاهش برخورد جریان آب با محیط متخلخل در دبی‌های بالا و غلبه نیروهای هیدرودینامیکی بر نیروی ثقل است که مانع از گذر بیشتر آب از کanal تحتانی می‌شود.

به طور طبیعی و بر اساس شکل ۷ (الف)، بیشترین گذردهی برای دانه‌بندی‌های بزرگتر رخ می‌دهد، هرچند نسبت قطر سنگدانه‌ها به رسوبات در تغییر درصد گذردهی نقش بسزایی دارد. در شکل ۷ (ب)، مشاهده می‌شود که همواره رسوبات ریزدانه گرفتگی بیشتری ایجاد کرده‌اند و لذا گذردهی نسبی یک دانه‌بندی مشخص با رسوبات درشت دانه‌تر بیشتر بوده است. این مطلب متأثر از نسبت  $R_S$  است به طوریکه گرفتگی رسوبات ریزدانه و دانه‌بندی‌های درشت دانه بیشتر بوده و در این حالات درصد کاهش  $\Psi$  بیشتر از دیگر حالات است. صرف نظر از رسوبات S4، در اندواع دیگر رسوبات مشاهده می‌شود که همواره در دانه‌بندی و شیب‌های مختلف، گذردهی نسبی دانه‌بندی‌های مختلف تحت تأثیر رسوبات S3 بیشتر از S2 و S2 بیشتر از S1 است. رسوب S4 مخلوط رسوبات قبلی بوده که به عبارتی حالت واقعی رسوبات در طبیعت محسوب می‌شود.  $\Psi$  در این نوع رسوب غالباً بین رسوبات S1 و S2 بوده و لذا در طبیعت نیز باید انتظار گذردهی نسبی در حدود ۲۵ تا ۴۰ درصد را داشت.

در شکل ۷ (ج) مشاهده می‌شود که در شیب ۲۰ درصد بیشترین توضیح علت گذردهی بهتر کanal انحراف رخ می‌دهد. در گفت که رسوبات ورودی به محیط متخلخل غالباً در لایه سطحی انباسته می‌شوند و یک لایه غیر قابل نفوذ را ایجاد می‌کنند. البته بسته به نوع  $R_S$  محیط، نحوه گرفتگی متفاوت خواهد بود اما گرفتگی سطحی تقریباً در تمام حالات رخ می‌دهد. در شیب‌های کم رسوبات مستقیماً به محیط متخلخل راه پیدا کرده و با گذر زمان و عبور رسوبات بیشتر، گرفتگی لایه سطحی بیشتر شده و نفوذ آب به لایه‌های پایینی محیط به سختی صورت می‌گیرد. اما در شیب‌های زیاد به خاطر وجود شیب با وجود آنکه رسوبات در فضاهای خالی محیط سنگدانه‌ای نفوذ کرده و گذردهی را کاهش می‌دهند اما رسوبات لایه سطحی غالباً با جریان شسته شده و لایه سطحی در این حالت به اندازه شیب صفر دچار گرفتگی نمی‌شود. به عبارت دیگر نفوذپذیری لایه سطحی در شیب‌های بالاتر بیشتر بوده و لذا محیط متخلخل دبی بیشتری را از خود عبور می‌دهد. علاوه بر این در شیب صفر سرعت جریان روی محیط متخلخل کمتر و امکان ته نشینی بیشتر است در حالیکه در شیب‌های غیر صفر به خاطر وجود شیب،



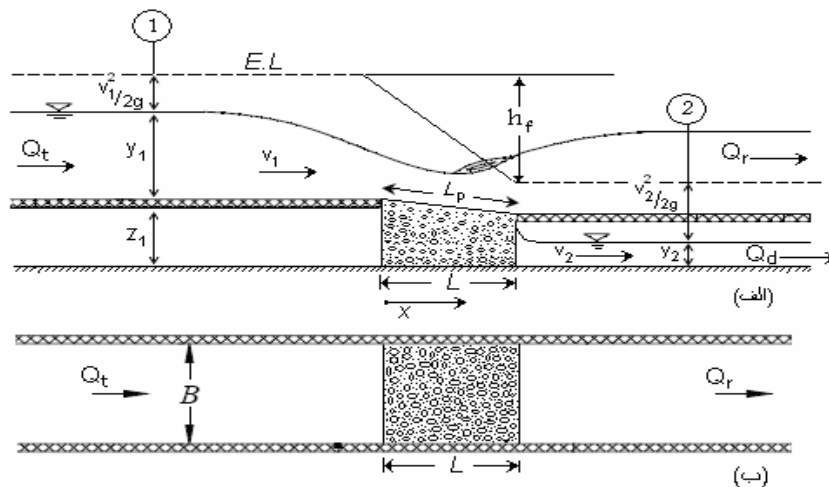
(شکل ۸)- بررسی عوامل مختلف بر روند تغییرات  $R_Q$  در دبی های مختلف. (الف) دانه بندی، (ب) رسوب و (ج) شیب محیط متخلخل



(شکل ۹)- مقایسه نسبی دبی تחתانی به دبی کل در جریان‌های زلال و رسوبدار در یک حالت نمونه

جدول ۱)- محدوده  $R_Q$  برای شیب‌های مختلف محفظه و بازه‌های

$R_S$			شیب محفظه
$>6$	$4/5-6$	$2/5-4/5$	
$<0/5$	$0/5-0/6$	$0/6-0/8$	%.
$<0/6$	$0/6-0/7$	$0/7-0/9$	%.
$<0/75$	$0/75-0/8$	$0/75-0/95$	%.



(شکل ۱۰)- مشخصات هیدرولیکی جریان آبگیر کفی با محیط متخلخل (الف) مقطع طولی آبگیر (ب) پلان آبگیر

با توجه به شرایط آزمایشگاهی مقدار  $\frac{V_2^2}{2g}$  نسبت به  $\frac{V_1^2}{2g}$  کم بوده و می‌توان از آن در رابطه ۱۵ صرفنظر کرد. با عبور جریان از محیط متخلخل و افت انرژی در مسیر حرکت، به نظر می‌رسد سرعت خروجی از محیط متخلخل کمتر از سرعت ورودی باشد اما به لحاظ اختلاف ارتفاع کف کanal بالادست آبگیر و کanal انحراف و اثر نیروی ثقل، تاثیر افت بر سرعت جریان درون محیط متخلخل تعدیل شده، می‌توان رابطه ۱۵ را به صورت ۱۶ نوشت:

$$\frac{V_2^2}{2g} = (y_1 - y_2) + z_1 - h_f \quad (16)$$

در رابطه ۱۶،  $h_f$  افت انرژی در واحد وزن سیال در طول آبگیر می‌باشد. رابطه ۱۶ بصورت ۱۷ مرتب می‌شود:

$$V_2 = \sqrt{2g(y_1 - y_2) \left( 1 + \frac{z_1 - h_f}{y_1 - y_2} \right)} \quad (17)$$

از آنجا که افت هد  $h_f$  نزدیک به اختلاف تراز بین سطح کanal در بالادست و سطح کanal تحتانی می‌باشد، می‌توان از مقدار  $\frac{z_1 - h_f}{y_1 - y_2}$  در رابطه ۱۷ صرفنظر کرد. خطای حاصل از حذف این

مقدار توسط  $C_d$  ضریب هد جریان جبران خواهد شد. با فرض نزدیک بودن مقدار سرعت متوسط درون محیط متخلخل به سرعت خروجی می‌توان رابطه سرعت متوسط تئوری درون محیط متخلخل را به صورت زیر معرفی کرد:

$$V = \sqrt{2g(y_1 - y_2)} \quad (18)$$

طبق رابطه پیوستگی و با در نظر گرفتن سرعت واقعی در محیط متخلخل با توجه به رابطه ۶، هد جریان اندکی در آبگیر کفی با محیط متخلخل در واحد عرض و طول به صورت زیر می‌باشد:

به منظور بررسی روند تغییرات هد کanal تحتانی به هد کل در جریان رسوبدار و زلال، در یک حالت نمونه (شکل ۹) مشاهده می‌شود که با افزایش هد، اختلاف  $\Psi$  و  $\Psi_s$  در جریان زلال و رسوبدار از ۲۰٪ در هد های پایین ( $\Psi_s = 70\%$  و  $\Psi = 50\%$ ) به ۸٪ در هد های بالا ( $\Psi_s = 38\%$  و  $\Psi = 30\%$ ) کاهش می‌یابد که نشان می‌دهد که گرفتگی در هد های کمتر مؤثر است. در نتیجه با وجود کاهش گرفتگی سطح تماس آب با محیط متخلخل در هد های بالا، کاهش گرفتگی سبب افزایش نسبی گذردهی کanal تحتانی می‌شود. کاهش اختلاف در گذردهی کanal تحتانی در هد های بالا برای جریان های زلال و رسوبدار باعث افزایش نسبی  $R_Q$  می‌شود.

با توجه به تأثیر مستقیم  $R_S$  بر روند تغییرات  $R_Q$  در محدوده آزمایشات انجام شده می‌توان جدول ذیل را ارائه داد:

در جدول (۱) مشاهده می‌شود که در شیوه های بالاتر، نسبت گذردهی آبگیر در جریان رسوبدار و زلال بیشتر بوده و  $R_S$  های کمتر از ۴/۵ عملکرد بهتری دارند.

### رابطه پیشنهادی هد اندکی در آبگیر کفی با محیط متخلخل

شکل ۱۰ معادله انرژی در طول خط جریان بین دو مقطع ۱ و ۲ را نشان میدهد.

با توجه به این شکل معادله انرژی بین دو مقطع ۱ و ۲، در بالادست آبگیر و کanal اندکی به صورت زیر نوشته می‌شود (به علت فاصله کم بین مقطع ۱ و ۲ اثر شیب طولی کanal کم و قابل صرفنظر کردن بوده و کanal به صورت افقی فرض می‌شود):

$$y_1 + z_1 + \frac{V_1^2}{2g} = y_2 + z_2 + \frac{V_2^2}{2g} + h_f \quad (15)$$

به منظور اجتناب از ارائه دو فرمول مجزا برای آبگیر کفی با سطح فوقانی افقی و شبیدار، مجموع دو پارامتر  $S_p$  و  $j$  به عنوان یک پارامتر بی بعد وارد معادله برآش شد تا رابطه بدست آمده قادر باشد به ازای مقدار صفر برای شبی سطح آبگیر در حالت افقی جواب مناسبی تولید کند. بهترین رابطه ضریب دبی برای آبگیر کفی با محیط متخلخل در جریان آب زلال به صورت غیر خطی با ضریب تبیین  $91/8\%$  بدست آمد:

$$C_d = 3.625 \times 10^{-5} \frac{Fr^{0.739} \left( \frac{y_1}{d_{50}} \right)^{0.509}}{n^{8.518} (S_p + j)^{0.363}} \quad R^2 = 91.8\% \quad (23)$$

رابطه ۲۳ نشان می‌دهد ضریب دبی با عدد فرود بالادست  $Fr$  و نسبت عمق آب بالادست به قطر متوسط ذرات  $\frac{y_1}{d_{50}}$  رابطه مستقیم دارد. این تتجه حاکی از آنست که با افزایش دبی، گذردهی بطوطر نسبی افزایش می‌یابد. همچنین ضریب دبی با متخلخل  $n$  و مجموع نسبت عمق آب بالادست به طول آبگیر  $j$  و شبی سطح آبگیر  $S_p$  رابطه معکوس دارد. دانه بندی‌های ریزدانه متخلخل بالاتری دارند اما حجم بیشتری از فضای آبگیری را اشغال می‌کنند لذا دانه بندی‌های درشت دانه تر گذردهی بهتری خواهند داشت. همچنین با افزایش شبی سطح آبگیر، جریان با سرعت بیشتری از روی آبگیر عبور کرده و کمتر وارد محیط متخلخل می‌شود.

ضریب دبی جریان در جریان رسوبدار را می‌توان شکل معادله ۲۴ نوشت:

$$C_d = 3.1 \times 10^{-4} \frac{Fr^{0.5} \Theta^{0.7} Re^{0.45} \sigma^{0.261} (S_p + j)}{i^{2.8} R_{50}^{0.356}} \quad R^2 = 0.86\% \quad (24)$$

در این حالت با ورود رسوبات به جریان، ضریب دبی تحت تاثیر عواملی چون فاکتور شیلدز، عدد رینولدز و ته نشینی ویژه تغییر می‌کند. با افزایش دبی جریان ( $Fr$ ) با وجود اینکه رسوبات بیشتری به محیط متخلخل راه پیدا می‌کنند ( $\Theta$  و  $\sigma$ ) اما به واسطه کاهش نسبی هد آب ( $i$ ) گذردهی افزایش می‌یابد. همچنین هرچه رسوبات درشت دانه تر باشند نسبت اندازه ( $R_{50}$ ) کاهش یافته و گذردهی افزایش می‌یابد. در این حالت برخلاف جریان زلال با افزایش شبی گذردهی جریان افزایش می‌یابد که در بخش ۳-۶ این موضوع بطوطر مبسوطی مورد مطالعه قرار گرفته است.

در شکل‌های ۱۲ و ۱۳ مقادیر  $C_d$  بدست آمده از نتایج آزمایشگاهی با نتایج بدست آمده از روابط ۲۳ و ۲۴ مقایسه شده‌اند. پراکنش ناچیز نقاط ( $\pm 10\%$ ) حاکی از انطباق خوب بین مقادیر ضریب دبی از روایت مذکور و مقادیر آزمایشگاهی می‌باشد. ملاحظه می‌شود که دامنه تغییرات ضریب گذردهی در جریان زلال از  $0/06$  تا  $0/14$  و در جریان رسوبدار از  $0/055$  تا  $0/113$  است هرچند که در جریان رسوبدار بیشترین تراکم تا بازه  $1/0$  دیده می‌شود.

$$\frac{dq}{dx} = C_d n V \quad (19)$$

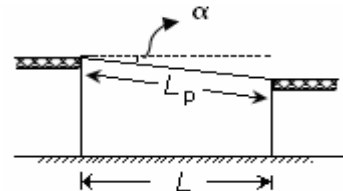
در رابطه ۱۹،  $n$  تخلخل سنگدانه‌ها،  $C_d$  ضریب دبی محیط متخلخل و  $V$  سرعت متوسط تئوری جریان عبوری از محیط متخلخل می‌باشد. با انتگرال گیری از رابطه ۱۹ در طول آبگیر رابطه‌ای برای دبی انحراف در واحد عرض آبگیر به صورت زیر بدست می‌آید:

$$q_d = C_d n L V \quad (20)$$

مقدار دبی انحراف آبگیر با جایگزینی سرعت از رابطه ۱۸ در رابطه ۲۰ به صورت زیر قابل محاسبه می‌باشد:

$$Q_d = C_d n L B \sqrt{2g(y_1 - y_2)} \quad (21)$$

در رابطه ۲۱،  $(y_1 - y_2)$  اختلاف سطح آب در بالادست آبگیر و کanal انحراف،  $g$  شتاب ثقل،  $L$  طول آبگیر،  $B$  عرض آبگیر،  $A = LB$  سطح مقطع آبگیر و  $A_m = nLB$  سطح مقطع جریان در محیط متخلخل سنگدانه‌ای که شامل مجموع سطح فضای خالی بین سنگدانه‌ها که سیال درون آن در صفحه‌ای عمود بر جهت جریان برقرار است. رابطه ۲۱ برای محاسبه مقدار دبی انحراف در آبگیر کفی با محیط متخلخل با سطح افقی کاربرد دارد. با وارد نمودن زاویه شبی سطح بالایی (شکل ۱۱) در رابطه ۲۱ می‌توان آن را در حالت کلی برای انواع آبگیر کفی با شبی سطح بالایی و بدون آن بکار برد (رابطه ۲۱):



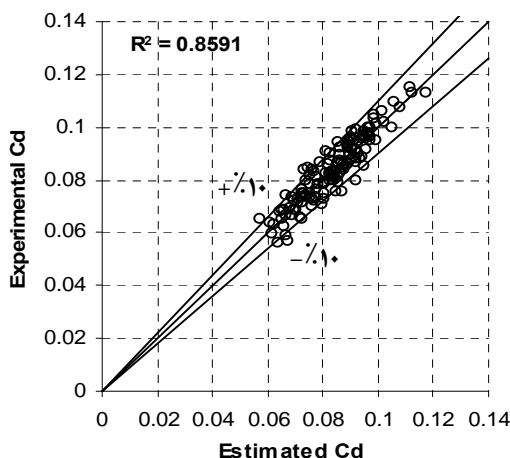
(شکل ۱۱)- طول آبگیر با سطح شبیدار

زاویه سطح بالایی محیط متخلخل با افق می‌باشد.

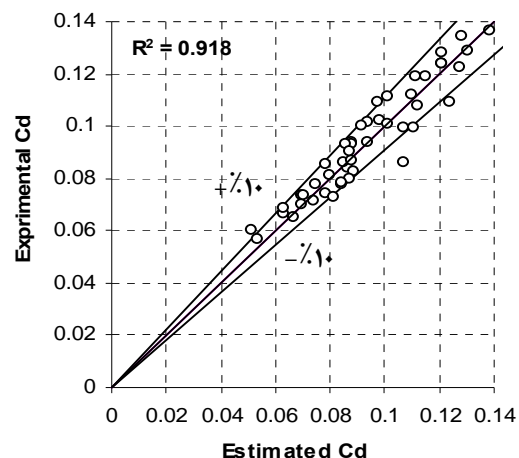
$$Q_d = C_d n L B_p \sqrt{2g(y_1 - y_2)} \rightarrow \\ Q_d = C_d \frac{A_m}{\cos \alpha} \sqrt{2g(y_1 - y_2)} \quad (22)$$

### ضریب دبی

با استفاده از داده‌های آزمایشگاهی و روش ریاضی برآش می‌توان رابطه‌ای جهت محاسبه ضریب شدت جریان ارائه کرد. به منظور بررسی توان عوامل موثر بر روند تغییرات گذردهی آبگیر کفی با محیط متخلخل، با استفاده از نرم افزار SPSS و به روش مرحله‌ای بین متغیرهای موجود برآش چند متغیره صورت گرفت. عواملی که به عنوان متغیر مستقل در معادله برآش مطالعه می‌شوند باید متغیرهای هیدرولیکی و هندسی را در برگیرند. این متغیرهای مستقل شامل کلیه متغیرهای بی بعد شده به روش آنالیز ابعادی می‌باشند.



(شکل ۱۳)- ضریب  $C_d$  محاسباتی و اندازه‌گیری شده در جریان رسویدار



(شکل ۱۲)- ضریب  $C_d$  محاسباتی و اندازه‌گیری شده در جریان زلال

(جدول ۲)- بازه ضریب  $C_d$  در جریان زلال و رسویدار در شیوه‌های مختلف

نوع جریان	شیب سطح آبگیر (S <sub>p</sub> %)		
	%۲۰	%۱۰	%۰
جریان زلال	-۰/۰۶۲	-۰/۰۷۰	-۰/۰۷۵
جریان رسویدار	-۰/۰۶۰	-۰/۰۵۸	-۰/۰۵۵

با توجه به تحقیقات ریگتی و لانزونی (۱۴) بر روی کف مشبک با میله‌های طولی و اندازه‌گیری سرعت جریان دو بعدی بالای سطح آبگیر و اندازه‌گیری زاویه ورودی به شبکه آبگیر می‌توان دریافت که با افزایش شیب سطح آبگیر زاویه ورودی خطوط جریان به محیط متخلخل کاهش یافته و در نتیجه مولفه قائم سرعت ورودی به محیط متخلخل نیز نسبت به مولفه افقی کاهش می‌یابد. به واسطه افزایش مؤلفه افقی سرعت، بیشتر جریان از روی آبگیر عبور کرده و کمتر وارد محیط آبگیر می‌شود.

در شیب کم سطح آبگیر با محیط متخلخل نیز بیشترین دبی در ابتدای طول آبگیر منحرف شده و هر چه جریان به انتهای آبگیر می‌رسد از میزان دبی منحرف شده کاسته می‌گردد. با افزایش شیب سطح محیط متخلخل، جریان بر روی آبگیر ستаб می‌گیرد و از انحراف دبی در ابتدای آبگیر کاسته می‌شود و این در حالیست که دبی انحراف در طول آبگیر هم روند کاهشی دارد. بنابراین می‌توان گفت یکی از عوامل مهم در کاهش میزان جریان انحرافی افزایش شیب سطح آبگیر است. اما در جریان رسویدار بر خلاف جریان زلال، با افزایش شیب سطح آبگیر ضریب گذردهی آن افزایش می‌یابد. در توضیح این پدیده باید گفت که در جریان رسویدار، رسوبرگرنگی لایه سطحی آبگیر تأثیر چشمگیری در کاهش گذردهی محیط دارد و

#### مقایسه ضریب $C_d$ جریان زلال و رسویدار در شیوه‌های مختلف

مقایسه ضرایب دبی  $C_d$  در جریان آب زلال و جریان رسویدار نشان داد که در جریان آب زلال با افزایش شیب سطح بالای آبگیر ضریب دبی کاهش می‌یابد اما در جریان رسویدار با افزایش شیب ضریب دبی افزایش می‌یابد (جدول ۲). با توجه به جدول ۲ مشاهده می‌شود که در شیب صفر ضریب گذردهی آبگیر در جریان زلال تا ۰/۱۴ افزایش یافته در حالیکه در جریان رسویدار حداقل ۰/۰۹ بدست آمده است. اما با افزایش شیب آبگیر، گذردهی جریان زلال و رسویدار به ترتیب و بطور نسبی کاهش و افزایش یافته است به طوریکه اختلاف حداقل ضریب دبی در دو حالت رسویدار و زلال در شیب صفر (۰/۰۵ = ۰/۰۹ - ۰/۱۴) و در شیب ۰/۲۰ (۰/۰۱ = ۰/۰۳۳ - ۰/۱۳۳) است که نشان می‌دهد در شیب صفر گرفتگی بیشتر از شیب ۰/۱۲۳ است که ناشی از افزایش شیب در جریان رسویدار و کاهش گذردهی جریان زلال با افزایش شیب سبب می‌شود که ضرایب دبی دو جریان در شیوه‌های بالاتر به یکدیگر نزدیکتر شوند.

جریان آب زلال و رسوبدار روند افزایشی دارد اما روند افزایشی آن با افزایش دبی ورودی ثابت نیست و بتنریج به مقدار ثابتی خواهد رسید. اندازه ذرات محیط متخلخل نیز بر روند دبی انحراف تأثیر قابل ملاحظه داشته چنانکه با افزایش اندازه ذرات، میزان دبی انحراف روند افزایشی را نشان می‌دهد هرچند که در جریان رسوبدار این روند بسیار تحت تأثیر قطر رسوبات است. در جریان آب زلال با افزایش شیب سطح بالایی محیط متخلخل آبگیر، از میزان دبی انحراف کاسته می‌شود و این در حالیست که در جریان آب رسوبدار افزایش شیب سطح آبگیر باعث افزایش جریان انحرافی می‌گردد. بیشترین و کمترین میزان تغییرات ضریب گذردهی جریان رسوبدار به جریان زلال ۳۵ و ۵٪ بوده که به ترتیب در شیبهای صفر و ۲۰ درصد رخ داده است. با افزایش شیب سطح آبگیر، سرعت جریان آب بر روی آبگیر افزایش یافته و بیشتر رسوبات از سطح آبگیر به پایین دست غلتبده و کمتر وارد محیط متخلخل می‌شوند. بنابراین با کاهش گرفتگی لایه سطحی محیط متخلخل جریان انحرافی نسبت به شیبهای ابگیر افزایش می‌یابد. همچنین در این تحقیق رابطه‌ای جهت محاسبه دبی انحرافی از آبگیر پیشنهاد گردید. با استفاده از برازش غیرخطی روابطی نیز برای ضریب دبی جریان در دو حالت جریان آب زلال و رسوبدار بر حسب پارامترهای بی بعد بدست آمده، ارائه شد.

چنانکه گفته شد در شیبهای کمتر است که این امر سبب افزایش ته نشینی رسوبات در لایه سطحی آبگیر می‌شود. با افزایش شیب و افزایش شتاب جریان، رسوبات بیشتری از لایه سطحی شسته شده و لذا گذردهی کانال انحراف افزایش می‌یابد. اما همچنان مشاهده می‌شود که در تمامی شیبهای همواره ضریب گذردهی جریان رسوبدار بواسطه وجود رسوبات و گرفتگی محیط متخلخل نسبت به جریان زلال گذردهی کمتری را نشان می‌دهد. لذا در نظر گرفتن عامل شیب سطح آبگیر می‌تواند نقش مهمی در کاهش گرفتگی آبگیر کفی با محیط متخلخل و افزایش میزان دبی انحراف داشته باشد.

## نتیجه گیری

در این مطالعه شیوه جدیدی برای آبگیری از رودخانه‌ها پیشنهاد شد که در آن محیط متخلخل جایگزین کفهای مشبک در سیستم آبگیری از کف رودخانه شده است. هرچند ضریب گذردهی آبگیر کفی با محیط متخلخل حدوداً ۱۰ تا ۳۰٪ ضریب گذردهی آبگیر کفی با کف مشبک است اما کارایی سیستم در بلند مدت، عدم نیاز به نیروی انسانی جهت حفظ و نگهداری سیستم و همچنین حفظ شرایط طبیعی رودخانه و ایجاد شرایط زیست محیطی مناسب برای رودخانه و منطقه از مزایای این سیستم به شمار می‌رود. نتایج این تحقیق نشان داد که با افزایش دبی ورودی بالادست، میزان دبی انحراف در دو حالت

## منابع

- ۱- فغفور مغربی م. و رزار م. ۱۳۸۵. بررسی عددی و آزمایشگاهی رفتار هیدرولیکی آبگیرهای کفی. هفتمین کنفرانس بین المللی عمران. دانشگاه تربیت مدرس.
- 2- Bouvard M. 1992. Mobile Barrages and Intakes on Sediment Transporting Rivers, IAHR monograph series, Rotterdam, Balkema.
- 3- Brunella S., Hager W., and Minor H.E. 2003. Hydraulics of bottom rack intake. Hydraulic Engineering. ASCE, 129 (1):2-10.
- 4- Blazejeski R., and Sadzide M.B. 1997. Soil clogging phenomena in constructed wetlands with surface flow. Water Science Technology. 35(5):183–188.
- 5- Behnke J.J. 1969. Clogging in surface spreading operations for artificial ground-water recharge. Water Resource. Res. 5(4):870–876.
- 6- Carling P.A. 1984. Deposition of fine and coarse sand in an open-work gravel bed. Fish Aquatic Science, 41: 263-270.
- 7- Cunningham A.B., Anderson C.J., and Bouwer H. 1987. Effect of sediment laden- flow on channel bed clogging. Irrigation and Drainage Engineering., ASCE. 113(1):106-118.
- 8- Drobir H. 1981. Entwurf von Wasserfassungen im Hochgebirge. Österreich. Wasserwirtschaft, 33(1):243–253. in German
- 9- Field R., Masters H., and Singer M. 1982. Porous pavement: Research, development, and demonstration. Transport Engineering. ASCE. 108(3):244–258.
- 10- Leps T.M. 1973. Flow Through Rockfill in Embankment Dam Engineering. John Wiley. New York.
- 11- Li B., Garga V.K., and Davies M.H. 1998. Relationship for non Darcy flow in rockfill. Hydraulic Engineering, 120(6):206-212.
- 12- Mucha I., Bansky U., Hlavatý Z., and Rodák D. 2006. Impact of river bed clogging-colmatation-on ground water. Riverbank Filtration Hydrology, Springer. 43–72.
- 13- Orth J., Chardonnet E., and Meynardi G. 1954. Study of bottom type water intake grids. Houille Blanche, 3:343–

351.

- 14- Righetti M., and Lanzoni S. 2008. Experimental study of the flow field over bottom intake racks. *Hydraulic Engineering*, 134:1-15.
- 15- Schälchli U. 1995. Basic equations for siltation of river beds. . *Hydraulic Engineering*. ASCE, 121(3):274–287.
- 16- Schälchli U. 1992. The clogging of coarse gravel river beds by fine sediment. *Hydrology*. Springer, 189-197
- 17- Sakthivadivel R., and Einstein H.A. 1970. Clogging of porous column of spheres by sediment. *Hydraulic. Div., ASCE*. 96(2):461–472.
- 18- Sowers G.B., and Sowers G.F. 1970. *Introductory soil mechanics and foundations*. Macmillan, New York.
- 19- Sherard J.L., Dunnigan, L.P., and Talbot, J.R. 1984. Basic properties of sand and gravel filters. *Geotechnical. Engineering*. ASCE, 110(6):684– 700.
- 20- Tan S.A., Fwa T.F., and Han C.T. 2003. Clogging evaluation of permeable bases. *Transport Engineering*. ASCE, 129(3):309- 315.
- 21- Wu F.C., and Huang H.T., 2000.” Hydraulic resistance induced by deposition of sediment in porous media.” *J. Hydr. Engrg.*, ASCE, 126( 7), 547-551.



## On the comparison of the diverted discharges in a bottom intake with porous media in clear water and sediment flow

B. Naghavi<sup>1</sup> - M. F. Maghrebi<sup>\*2</sup> - K. Esmaili<sup>3</sup> - S.R. Khodashenas<sup>4</sup> - F. K. Vahid<sup>5</sup>

### Abstract

Bottom rack intake is one of the most appropriate structures for diverting water in steep rivers. The problems of corrosion, deformity and clogging of the bottom racks in long term, inspires a new system of bottom intake in which a filled trench of porous media is replaced by the bottom racks. Diversion of a specified amount of discharge through the porous media when void space in the granular material are filled with fine sediment in comparison to the bottom racks, requires much larger structure. However, for the new system of water intake, lower cost of construction and maintenance and higher compatibility with the river morphology in long term are considered as major advantages. The present research deals with an experimental model with two-storey channel, the lower one is used to divert water through the porous media and the upper one is used to convey the remained flow. Measurements of the diverted discharge were performed for different rates of flow, grain size distributions as well as surface slopes of intake with clear water and sediment flow. The influence of clogging phenomena on diverted discharge is also examined. The experimental results show that the effect of clogging in sediment flow in comparison to the clear water is decreased as the surface slope of the porous media is increased. It is revealed that the discharge coefficient of bottom intake when clear water is passed through the channel is varied in the range of 0.06 to 0.13. When sediment flow is passed over the bottom intake, due to clogging phenomena discharge coefficient is reduced up to 5 to 35% in comparison to the clear water. Experimental equations prepared for the discharge coefficients show that the significant factors affecting the efficiency of the water intakes are grain size distribution and surface slope of the bottom intake. The results show that the discharge coefficients for the water intake with the clear water and sediment flow when the above mentioned factors are selected appropriately are close to each other.

**Key words:** Bottom intake, Porous media, Discharge coefficient, Clear water flow, Sediment flow, Clogging

1,5- M.Sc. Student of Water Structures, Department of Water Engineering, Ferdowsi University of Mashhad

2- Associate professor of Civil Engineering, Faculty of Engineering, Ferdowsi University of Mashhad

(\* - Corresponding author Email: maghrebi@ferdowsi.um.ac.ir)

3,4- Assistant professor of Water Engineering, Faculty of Agriculture, Ferdowsi University of Mashhad